

Heizung dir. Batterie	Vf	2,0 V
Chauffage dir. batterie	If	0,065 A
Heating dir. battery		

Kapazitäten	Cag1	<0,006 μF
Capacités	Cg1	5,9 μF
Capacities	Ca	5,0 μF

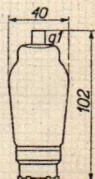
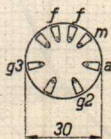
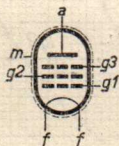
Betriebsdaten als HF- und ZF-Verstärker
 Données relatives au fonctionnement comme amplification HF ou MF
 Operating conditions as HF and IF amplifier

Va	90	135 V
Vg2	90	135 V
Vg1	-0,5	-0,5 V
Ia	1,2	2,6 mA
Ig2	0,4	1 mA
g	900	800
S (Vg1 = -0,5 V)	0,7	0,8 mA/V
Ri (Vg1 = -0,5 V)	1,3	1 MOhm

Grenzdaten
 Données-limites
 Limits

Va max	135 V
Wa max	0,5 W
Ik max	5 mA
Vg1 max (I _{g1} = 0,3 μA)	-0,2 V
Vg2 max	135 V
Wg2 max	0,25 W
Rg1f max	1,5 MOhm
Vg1 max (50 mW)	25 mV

Elektrodenanordnung und Sockelschaltung
 Disposition des électrodes et connexion du culot
 Arrangement of electrodes and base connection



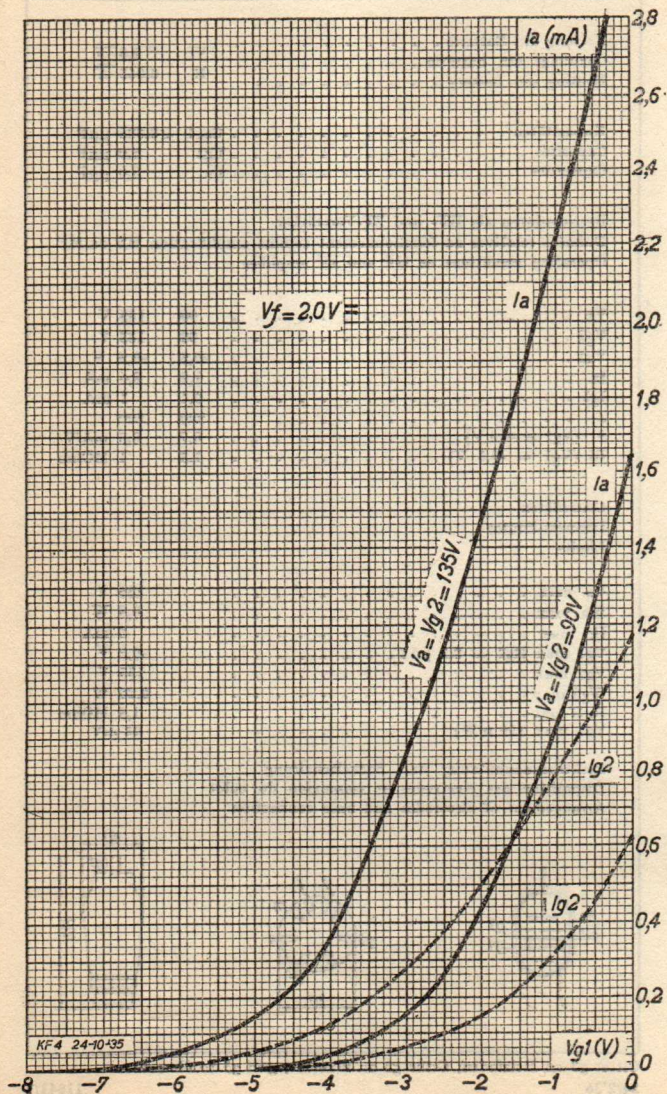
Gitter g3 an Heizfaden; Grille g3 au filament; grid g3 to filament.

KF 4

PHILIPS „MINIWATT”

KF 4

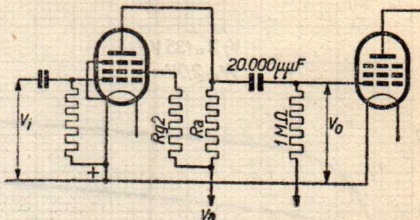
H.F. PENTHODE



Daten als Gittergleichrichter

Données relatives au fonctionnement détectrice grille

Operating conditions as grid detector

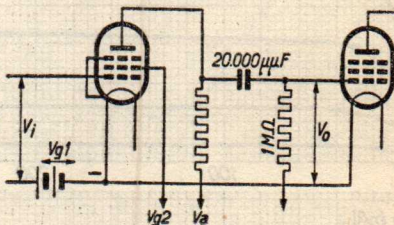


Va (V)	Ra (MΩ)	Rg2 (MΩ)	Ia (mA)	Vo max (V)	Vo ¹⁾ / Vi
135	0,3	0,64	0,37	4,8	6,6
90	0,3	0,5	0,24	2,6	4,8

Daten als Anodengleichrichter

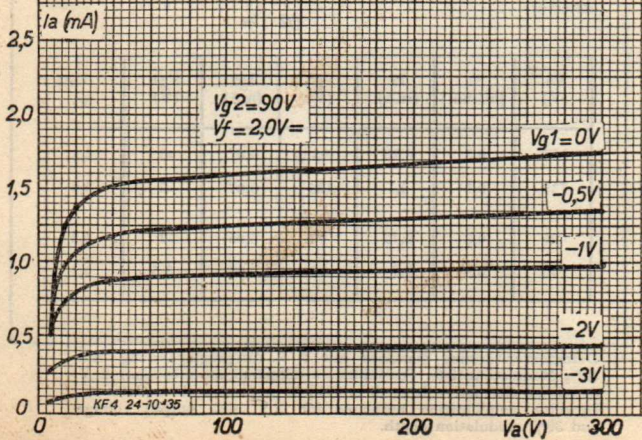
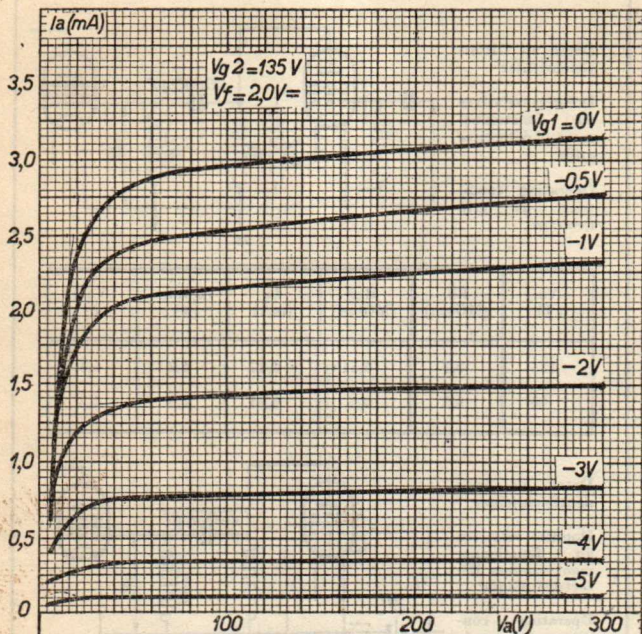
Données relatives au fonctionnement détectrice plaque

Operating conditions as anode detector



Va (V)	Ra (MΩ)	Ia (mA)	Vg2 (V)	Ig2 (mA)	Vg1 (V)	Vo ¹⁾ / Vi
135	0,3	0,15	95	0,07	-3	4,4
135	0,3	0,1	135	0,07	-5	3,9
90	0,3	0,12	90	0,05	-3	4,3
90	0,3	0,7	90	0,04	3,3	4,1

1) Detektorverstärkung gemessen mit 2 V Ausgangsspannung und 30% Modulationstiefe; Sensibilité en détection mesurée pour 2 V de tension alternative de sortie et 30% de profondeur de modulation. Detector amplification measured for 2 V A.C. output voltage and 30% modulation depth.

KF 4**PHILIPS „MINIWATT”****KF 4****H.F. PENTHODE**

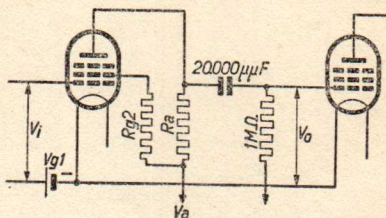
PHILIPS „MINIWATT”
 KF 4
 H.F. PENTHODE

KF 4

Daten als N.F.-Verstärker

Données relatives au fonctionnement B.F. comme amplificateur

Operating conditions as L.F.-amplifier.

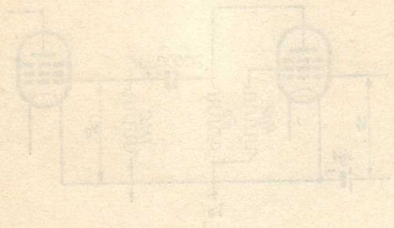


Va (V)	Ra (MOhm)	Ia (mA)	Ig2 (mA)	Rg2 (MOhm)	Vg1 (V)	Vo Vi
135	0,3	0,3	0,11	0,64	-1,5	72
135	0,2	0,41	0,15	0,4	-1,5	62
135	0,1	0,64	0,23	0,2	-1,5	47
90	0,3	0,18	0,1	0,4	-1,5	52
90	0,2	0,24	0,1	0,25	-1,5	48
90	0,1	0,5	0,2	0,05	-1,5	37

KP 4

PHILIPS PATENT
 RE 4
 H.F. TRIODE

Table of H.F. characteristics
 Factors relative to load impedance, H.F. output coefficient
 Working conditions at 1.5-cycles



V_g (V)	V_p (V)	I_a (mA)	I_{g1} (mA)	μ	μ_{eff}	V_{eff} (V)
10	100	0.2	0.17	0.8	0.84	100
20	100	0.3	0.23	1.2	0.91	100
30	100	0.4	0.32	1.6	0.97	100
40	100	0.5	0.41	2.0	1.03	100
50	100	0.6	0.50	2.4	1.09	100
60	100	0.7	0.59	2.8	1.15	100